

유기단분자막의 전극거리에 따른 전류 측정

The Current Measurement by Electrode Distance of Organic Monolayers

이경섭	동신대학교 공과대학 전기전자공학과
전동규	동신대학교 대학원 전기전자공학과
오제한	동신대학교 대학원 전기전자공학과
강용철	광주보건 전문대 의공학과
Kyung-sup Lee	Dept. of Electrical & Electronic Eng. Dongshin Univ.
Dong-kyu Chon	Dept. of Electrical & Electronic Eng. Dongshin Univ. grad.
Jea-han Oh	Dept. of Electrical & Electronic Eng. Dongshin Univ. grad.
Yong-chul Kang	Dept. of Medical Eng. Kwangju Health

Abstract

We have investigated a surface pressure, a displacement current and a charge measurement by distance of between electrode 1 and water surface of organic monolayers. And the displacement current was generated durring compressin of Arachidic acid monolayers at a air-water interface.

The result from our work show that the displacement current of a Langmuir(L) film for Arachidic acid monolayers has the different maximum points according to the electrode distance.

We are known that the displacement current and a charge was generated in inverse proportion to electode distance d .

Key Words(중요용어) : Organic monolayers(유기단분자막), Displacement current(변위전류), Arachidic acid(arachidic 산)

1. 서 론

최근 전기전자공학의 재료분야에 있어서 끊임 없이 새로운 기능성소자 개발은 위한 노력이 계속되고 있다. 이러한 소자의 개발은 무기재료를 사용한 극미세화 및 고집적화, 고효율화 등의 목표로 연구가 진행되고 있으며 초박막소자의 개발을 위하여 유기재료를 사용한 유력한 기술 중의 하나로 널리 알려진 유기박막 제작법인 LB(Langmuir-Blodgett)법에 관한 연구가 주목을 받고 있다[1].

유기박막을 이용한 디바이스의 제작을 위해서는 우선 수면에 유기재료를 전개하여 유기단분자로 구성된 박막에 외부자격을 인가시켜 이들의 물성 평

가가 이루어져야 한다[2].

본 연구에서는 유기박막 물성을 평가하기 위하여 외부로부터 압력자격을 인가하여 변위전류와 전하량 및 π -A등온선을 측정하고 상부전극과 수면과의 거리를 각각 0.5, 1.0, 1.5, 2.0mm로 조정하여 전극에 따른 의존성을 측정하여 연구하였다.

2. 측정원리 및 실험

그림 1은 본 연구에 사용한 포화지방산인 Arachidic acid($CH_3(CH_2)_{18}COOH$)의 분자구조로서 시료는 $CH_3(CH_2)_{18}$ 의 소수기와 $COOH$ 의 친수기를 갖는 양친매성 물질로 구성되어 있으며 클로로포름을

용매로하여 0.5 m mol/l의 농도로 조성하였다. 또, 상부전극과 수면사이의 거리를 조절하고 변위전류에 대한 의존성을 확인하기 위하여 LCZ meter를 이용하였다[2][3].

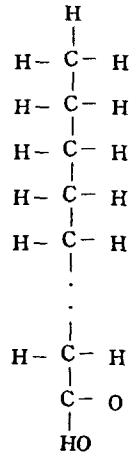


그림 1. Arachidic acid의 분자구조

Fig. 1. Molecule structures of Arachidic acid

트리프에 전개된 유기박막의 압축과정에서 표면압, 최대전류, 전하량은 그림 2와 같이 상부전극과 하부전극에서 전류계를 통한 폐회로에서 측정하였다. 단 분자막을 형성한 후 베리어를 압축하게 되면 식(1)의 전하량 Q 가 유기되고 유기된 전하량은 전류계를 통하여 전류의 형태로 검출된다[4].

$$Q = -\frac{\mu}{d}N \quad (1)$$

μ : 수직방향성분의 쌍극자모멘트

N : 상부전극 아래에 존재하는 분자수

d : 상부전극과 수면 사이의 거리

또한, 발생된 전류 중 외부회로에 흐르는 최대전류 A_m 은 식(2)와 같이 전하량 Q 를 시간에 대하여 미분을 하여 구할 수 있다.

$$A_m = \frac{N}{d} \frac{d\mu}{dt} + \frac{\mu}{d} \frac{dN}{dt} \quad (2)$$

식(1)과 (2)로부터 유기되는 최대전류 A_m 은 전극 아래 분자수 N 이 변화할 때와 수면의 계면전위가 변화할 때 발생되며 수면과 전극 사이의 거리에 대

하여 그 크기는 반비례한다[4][5].

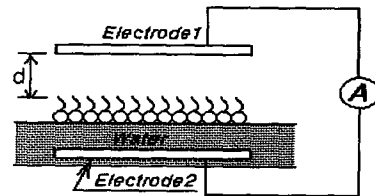


그림 2. 수면과 전극 1 사이의 거리에 따른 변위전류 측정

fig. 2. Displacement current measurement as distance of water surface and electrode 1

3. 결과 및 고찰

그림 3과 4는 상부전극과 수면과의 거리 d 를 각각 0.5, 1.0, 1.5, 2.0mm로 조정하였을 때 전류가 발생하는 비교적 넓은 면적과 좁은 면적에서의 실험 결과이다.

분자의 점유면적은 각각 $65 \sim 17 \text{Å}^2$ 과 $48 \sim 13 \text{Å}^2$ 부근까지 압축하였으며 분자점유면적은 24Å^2 부근에서 표면압의 변화를 볼 수 있었고 좁은 면적일 경우 45mN/m 부근에서 막 붕괴가 일어남을 알 수 있었다. 유기되는 전류는 각각 분자점유면적이 $38 \sim 42 \text{Å}^2$, $33 \sim 37 \text{Å}^2$ 부근에서 최대값을 나타냈고 수면과 전극 사이의 거리가 가까울수록 변위전류의 최대값은 크게 나타남을 알 수 있었다.

그림 5와 6은 거리 d 를 변화시켰을 때 유기되는 최대전류 A_m 과의 관계이다. 식 (2)에서 A_m 은 거리 d 에 반비례함을 알 수 있듯이 실험의 결과에서도 전류의 최대값 A_m 이 비교적 넓은 면적에서는 약 110, 125, 150, 170[fA], 좁은 면적에서는 70, 90, 105, 140[fA]에서 거의 직선적으로 반비례했음을 알 수 있었다.

4. 결론

Arachidic acid 단분자에 외부자격을 가하여 변위전류, 전하량을 측정하였으며 발생하는 변위전류의 최대값은 전극거리와 반비례함을 알 수 있었고 이론값과 실험 측정값이 비교적 잘 일치함을 알 수 있었다.

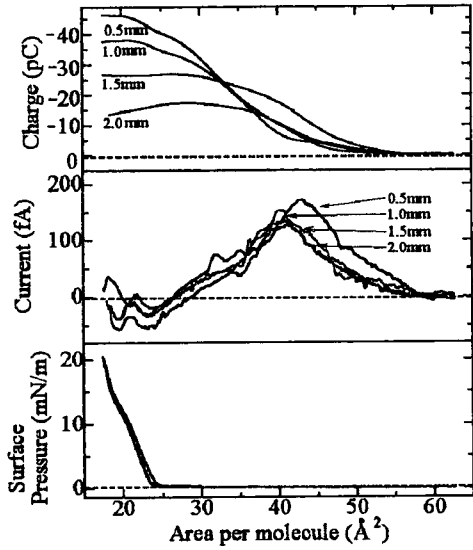


그림 3. 넓은 면적에서의 결과
fig. 3. Result of wider area

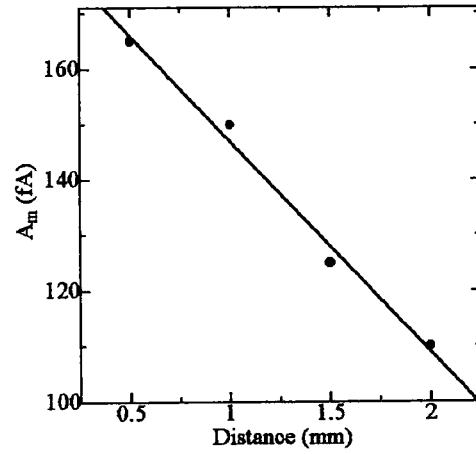


그림 5. 넓은 면적에서의 최대전류 A_m 과
전극거리 d 의 관계
fig. 5. Relation of electrode distance d and
maximum A_m at wider area

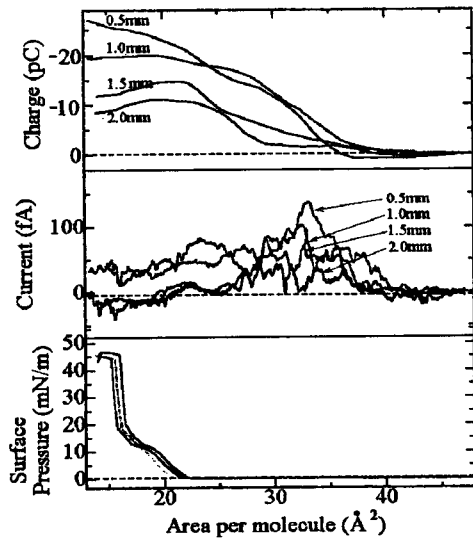


그림 4. 좁은 면적에서의 결과
fig. 4. Result of narrower area

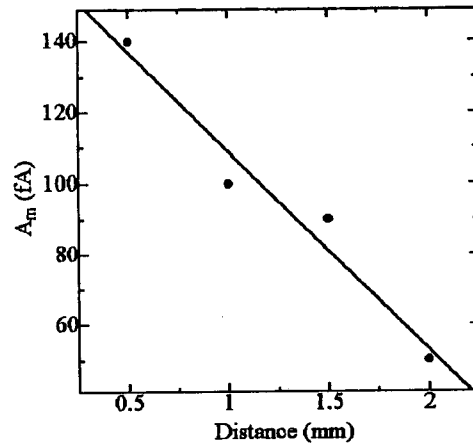


그림 6. 좁은 면적에서의 최대전류 A_m 과
전극거리 d 의 관계
fig. 6. Relation of electrode distance d and
maximum A_m at narrower area

감사의 글

본 연구는 한국전력공사의 지원에 의하여 기초전
력공학공동연구소 주관으로 수행되었음.

과제관리번호 : 97-021

참 고 문 헌

- [1] G. Roberts, *"Langmuir-Blidgett Films"*, Plenum, New York, 1990.
- [2] Y. Majima and M. Iwamoto, "A New Displacement Current Measuring System Coupled with the Langmuir-Film Technique", *Review of seientific instruments*, AIP, vol. 62, No.9, pp. 2228 ~2283, September, 1991.
- [3] S. Kato, M. Akiyama, Y. Amemiya and I. Hatta, "Temperature Dependence of the Ripple Structure in Dimyristoylphosphatidylcholine sudied by Snchrotron X-ray Small-Angle Diffraction", *Biochimica et. Biophysica Acta*, vol. 1028, pp. 103~109, 1990.
- [4] M. Iwamoto and Y. Majima, "Investigation of a Fatty acid Monolayer at the Air-Water Interface using a Current-Measuring Technique", *Thin Solid Films*, vol. 178, pp. 67~72, 1989.
- [5] K. S. Lee, M. Iwamoto, "Maxwell Displacement Current across Phospholipid Monolayers at Air/Water Interface", *J. of Collid and Interface Science*, vol. 177, pp. 414~418, 1996.